

Studium proton-protonových srážek na RHIC

... referát o diplomové práci

Jan Kapitán

vedoucí diplomové práce: Michal Šumbera, CSc.

Ústav částicové a jaderné fyziky
MFF UK, Praha

26.4.2006 / MFF

Obsah

Popis experimentu

Motivace

Selekce dat

Simulace a efektivita TPC

Geometrie PP srážek

Závěr

Obsah

Popis experimentu

Motivace

Selekce dat

Simulace a efektivita TPC

Geometrie PP srážek

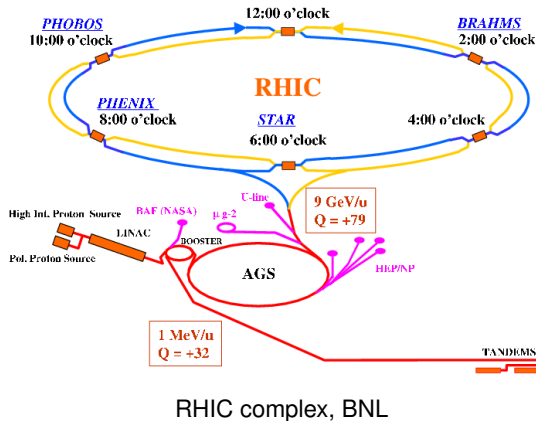
Závěr

The collider/accelerator



Relativistic Heavy Ion Collider

- ▶ BNL, NY, USA
- ▶ obvod 3.8 km, maximální energie svazku 100 GeV na nukleon - těž.ionty, 250 GeV - protony
- ▶ experimenty: STAR, PHENIX, PHOBOS, BRAHMS
- ▶ spuštěn v roce 2000



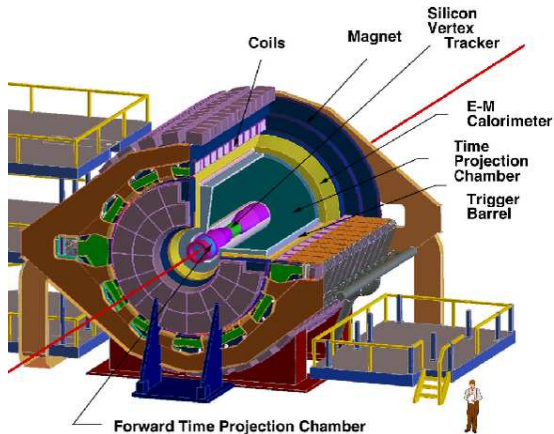
Fyzika na RHIC

- ▶ srážky těžkých iontů (AuAu, CuCu, dAu)
- ▶ srážky proton-proton na stejných energiích, pro porovnání s těžkými ionty
- ▶ srážky polarizovaných protonů pro spinovou fyziku
- ▶ právě běží run 7, nabíráme polarizované protony (transverzální polarizace 60%) při $\sqrt{s} = 200 \text{ GeV}$

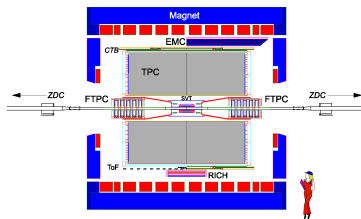
STAR detector

Solenoidal Tracker At Rhic

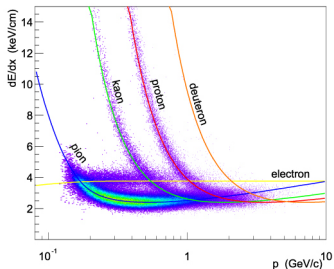
- ▶ dráhové detektory:
TPC, FTPC, SVT, SSD
- ▶ elmg. kalorimetry:
BEMC, EEMC, FPD
- ▶ další trigger detektory:
ZDC, CTB, BBC
- ▶ magnetické pole:
0.5 T, solenoid



Time Projection Chamber - hlavní dráhový detektor



- ▶ délka 4 m, průměr 4 m
měříme nabité částice v akceptanci $|\eta| < 1.4$
azimutálně 2π
- ▶ ideální detektor pro studium mnohočásticových korelací
- ▶ longitudinální drift - doba $40\ \mu\text{s}$
rozlišení polohy hitu: $\sigma = 0.5 - 3\ \text{mm}$
- ▶ identifikace částic na základě dE/dx



Obsah

Popis experimentu

Motivace

Selekce dat

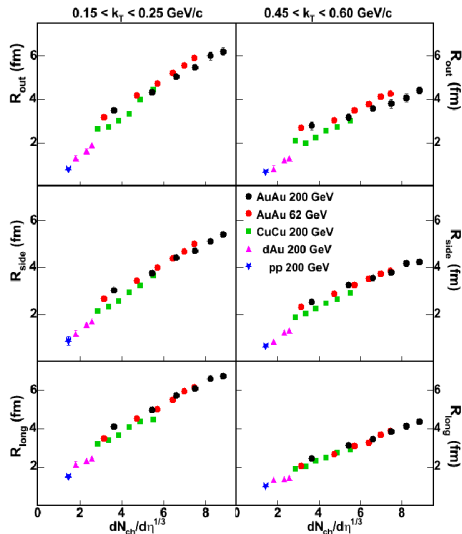
Simulace a efektivita TPC

Geometrie PP srážek

Závěr

Měření velikosti těžkoiontových srážek

- ▶ pomocí korelační analýzy (HBT) umíme měřit velikost emisní oblasti ve srážkách těžkých iontů (např. AuAu, CuCu, PbPb)
- ▶ můžeme studovat závislost na energii, impact parametru, typu projektilu, atd. ale existuje “universal scaling”(?): **velikosti závisí na multiplicitě emitovaných nabitých částic ($dN_{ch}/d\eta$)**



...a pp srážek

- ▶ **bude v pp závislost na multiplicitě stejná jako u těžkých iontů?**
- ▶ budu tedy studovat geometrii pp srážek pomocí korelací existují “centrální” pp srážky?
byly by to soft eventy s velkou multiplicitou

Obsah

Popis experimentu

Motivace

Selekce dat

Simulace a efektivita TPC

Geometrie PP srážek

Závěr

Použitá data

- ▶ proton-proton při $\sqrt{s} = 200$ GeV
- ▶ data z runu 2 (rok 2001-2002)
- ▶ **16 milionu eventů**
- ▶ minimum bias trigger

Hard & soft events

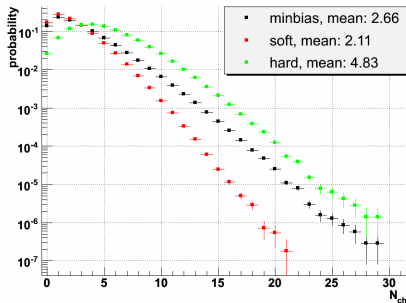
- ▶ v hard eventu došlo k hard QCD procesu, jehož výsledkem jsou jety - shluky sekundárních částic s vysokou E_T
- ▶ na hledání “jetů” používám kónový algoritmus: hledám clustery tracků s vysokým p_T ¹:
1 track s $p_T > 0.7$ GeV a další track s $p_T > 0.4$ GeV v kuželu o poloměru $(\Delta\eta^2 + \Delta\phi^2)^{1/2} < 0.7$
- ▶ hard event obsahuje alespoň 1 cluster (“jet”) ($E_T > 1.1$ GeV)
hard eventů je v minbias vzorku 20%

¹CDF collaboration: Soft and hard interactions in $p\bar{p}$ collisions at $\sqrt{s} = 1800$ and 630 GeV, Physical Review D **65**, 07 (2005)

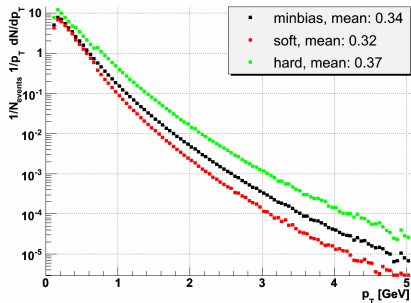
Spektra

Porovnání multiplicitních a p_T spekter, bez oprav na detektorové efekty:

Uncorrected multiplicity, $|\eta| < 0.5$, $|\text{VertexZ}| < 75$ cm



Uncorrected p_T spectra, $|\eta| < 0.5$, $|\text{VertexZ}| < 75$ cm



Obsah

Popis experimentu

Motivace

Selekce dat

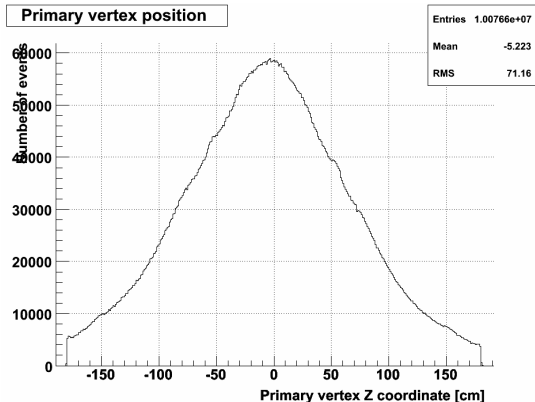
Simulace a efektivita TPC

Geometrie PP srážek

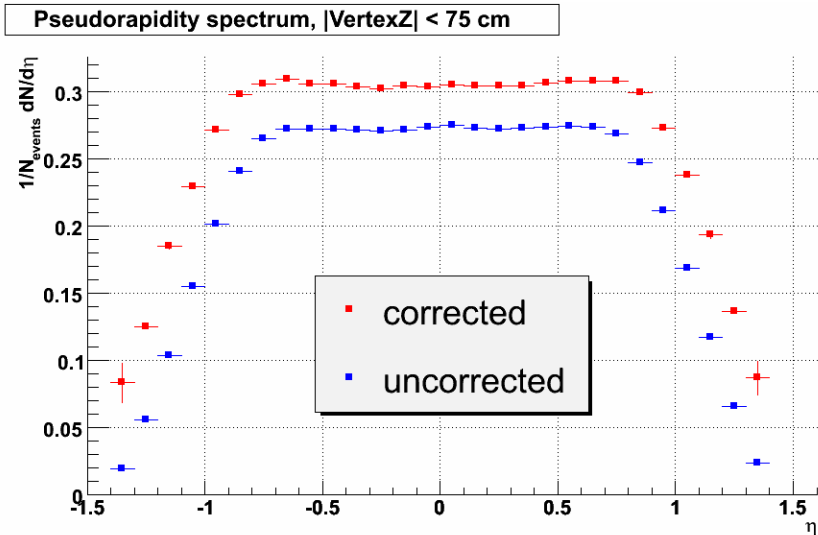
Závěr

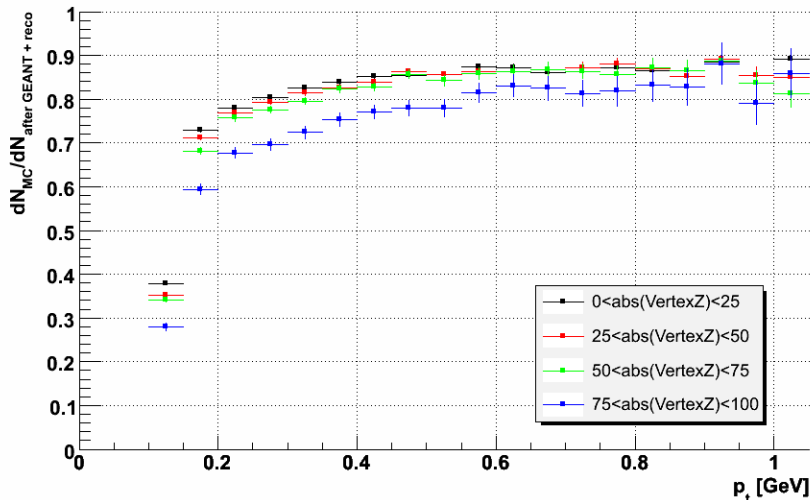
HIJING simulation

- ▶ použil jsem HIJING embedding, zerobias eventy z runu 2
- ▶ jednočásticová efektivita závisí na p_T a na poloze primárního vertexu & pseudorapiditě



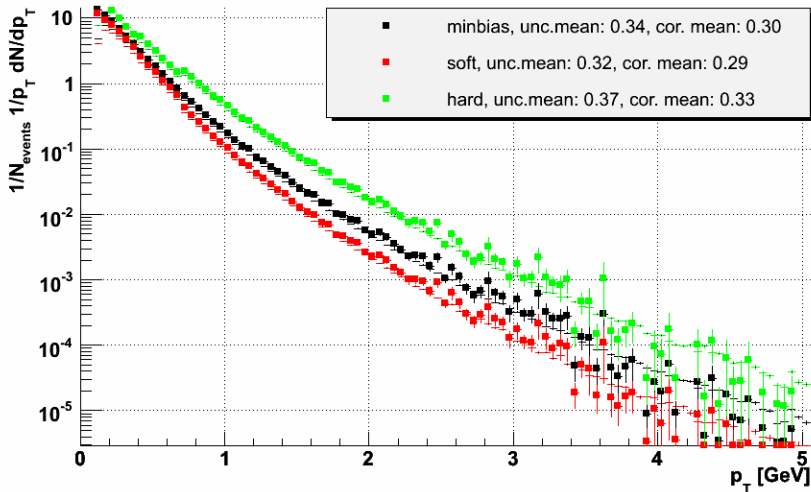
pseudorapiditní spektra



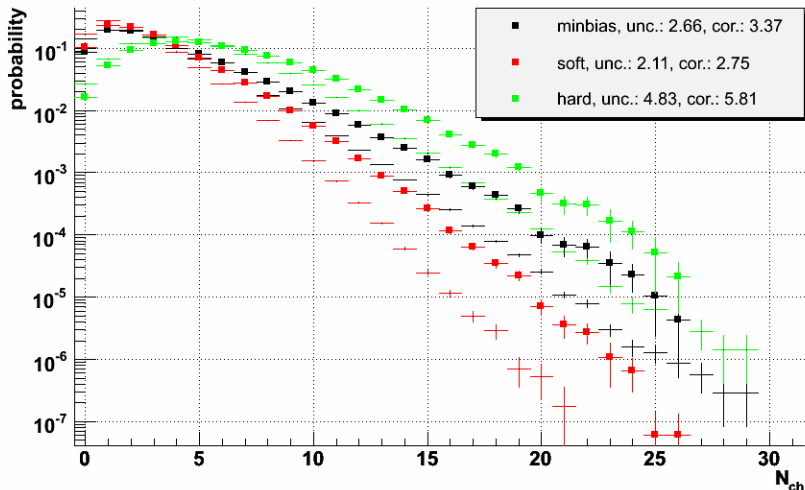
korekce pro p_T Tracking efficiency for $|\eta| < 0.5$ 

závislost korekce na poloze vertexu

- ▶ nekorigovaná spektra zvlášť pro $|VertexZ|$ 0 – 25, 25 – 50, 50 – 75 cm
- ▶ provedení korekcí a sečtení výsledků
- ▶ korekce pro multiplicitu:
 - ▶ z MC zjišťuji multiplicitu pro $|\eta| < 0.5$ před a po průchodu detektorem
 - ▶ $P(det, n)$ - pravděpodobnost, že z n původních částic jich bylo det detekováno
 - ▶ na základě těchto pravděpodobností opravím rozdělení multiplicit z reálných dat

p_T spektrum po korekciCorrected & uncorrected p_T spectra, $|\eta| < 0.5$, $|\text{VertexZ}| < 75$ cm

Rozdělení multiplicit po korekci

Corrected & uncorrected multiplicity, $|\eta| < 0.5$, $|\text{VertexZ}| < 75$ cm

Shrnutí korekcí

- ▶ Provedl jsem korekce na efektivitu detektoru.
- ▶ Soft a hard eventy se výrazně liší, před korekcemi i po nich.

Obsah

Popis experimentu

Motivace

Selekce dat

Simulace a efektivita TPC

Geometrie PP srážek

Závěr

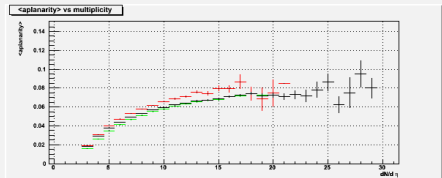
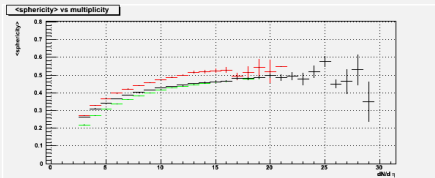
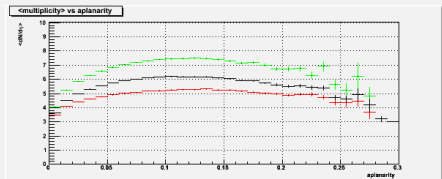
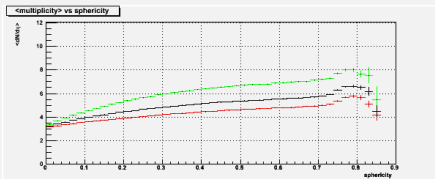
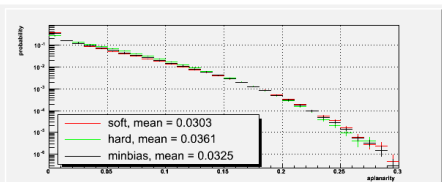
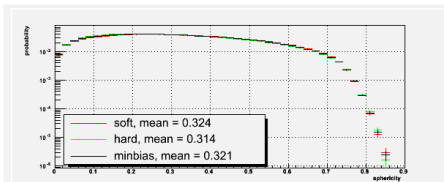
“Tvar” eventu - sféricita a aplanarita

- ▶ z naměřených hybností částic sestavíme matici:

$$A_{ij} = \frac{\sum p_i p_j}{\sum p^2}$$

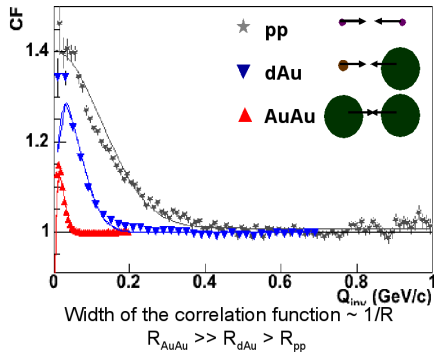
- ▶ zjistíme vlastní čísla matice: $A_1 \geq A_2 \geq A_3$
a označíme: *sphericity* = $\frac{3}{2}(A_2 + A_3)$, *aplanarity* = $\frac{3}{2}A_3$
- ▶ pro “sférický” event mají maximální hodnoty: 1.0 resp. 0.5
ale $\eta = 0.5$ odpovídá $\theta = 62^\circ$, nevidím tedy zdaleka celý prostorový úhel
- ▶ pro vyloučení triviálních výsledků počítám jen pro eventy s multiplicitou větší než 2
- ▶ studované efekty detektoru jsou malé

“Tvar” eventů - sféricita a aplanarita



HBT - úvod

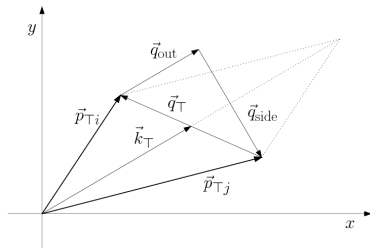
na základě šířky korelační funkce $C_2(\vec{q})$ určujeme velikost oblasti emise částic



- ▶ Bose-Einstein korelace (BEC)
intenzitní interferometrie
- ▶ HBT - v astronomii
GGLP - 1960, použití v
částicové fyzice
fentoskopie, HBT, ...

Dvočasticová korelační funkce

- ▶ $C_2(\vec{p}_1, \vec{p}_2) = \frac{P_2(\vec{p}_1, \vec{p}_2)}{P_1(\vec{p}_1) \cdot P_1(\vec{p}_2)}$
- ▶ plním do histogramů rozdíl hybností $\vec{q} = \vec{p}_1 - \vec{p}_2$
- ▶ jmenovatel získám pomocí event-mixing techniky - pár z různých eventů nemá HBT
- ▶ 3D korelační funkce - Bertsch-Pratt projekce: out,side,long

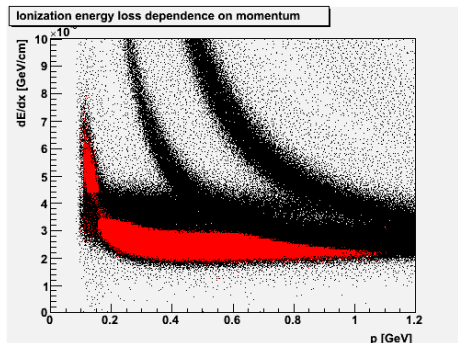


Cuty

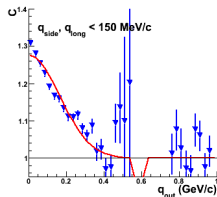
- ▶ efekty akceptance detektoru se díky mixingu omezí, proto $|VertexZ| < 150$ cm pro statistiku
- ▶ Track cuts:
 $|y| < 0.5$ (rapidity)
 number of hits > 15
 PID: π^+ or π^-
- ▶ Pair cuts:
 k_T/GeV (0.25,0.35) (0.35,0.45) (0.45,0.6)
 antimerging cut
 antisplitting cut
- ▶ Po cutech zbylo 4 miliony reálných $\pi^+\pi^+$
 $+\pi^-\pi^-$ párů

PID cuts:

- ▶ select pion band - within two sigmas
- ▶ reject electrons, kaons, protons at two sigmas
- ▶ acts as an effective p , therefore also p_T cut



Příklad 3D korelační funkce

Identical $\pi\pi$ CF

- ▼ Data - PRELIMINARY
- Bowler-Sinyukov fit

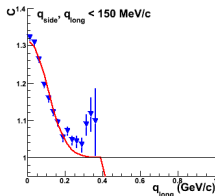
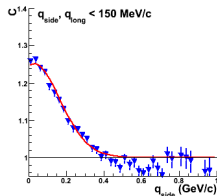
$$\lambda = 0.449 \pm 0.009$$

$$R_{out} = 0.85 \pm 0.02 \text{ fm}$$

$$R_{side} = 0.89 \pm 0.01 \text{ fm}$$

$$R_{long} = 1.39 \pm 0.03 \text{ fm}$$

$$\chi^2/NDF = 1.98859$$

3D CF for lowest k_T bin“ q_{out} hole:”

- ▶ korelace okolo $\vec{q} = 0$, proto přibližně $q_{out} = p_{T1} - p_{T2}$ necht' $p_{T1} > p_{T2}$, potom $\frac{q_{out}}{2} = k_T - p_{T2}$ cuty: $\frac{q_{out}}{2} < k_{T,max} - p_{T,min}$ $\frac{q_{out}}{2} > k_{T,min} + p_{T,min}$
- ▶ pro k_T/GeV in $(0.25, 0.35)$ vznikne díra v q_{out} $0.5 - 0.7 \text{ GeV}$ protože ostatní projekce nejsou přesně nula, jsou okraje neostré, s velkými chybami

HBT-závěr

Výsledky fitů pro k_T biny:

k_T/GeV	0.25-0.35	0.35-0.45	0.45-0.6
R_{out}/fm	0.85 ± 0.02	0.78 ± 0.02	0.70 ± 0.02
R_{side}/fm	0.89 ± 0.01	0.85 ± 0.02	0.72 ± 0.02
R_{long}/fm	1.39 ± 0.03	1.30 ± 0.03	1.12 ± 0.03
λ	0.449 ± 0.009	0.492 ± 0.012	0.546 ± 0.015

- ▶ hodnoty poloměrů a λ souhlasí s dříve publikovanými daty
- ▶ zbývá provést HBT na jednotlivých třídách eventů (soft-hard-minbias) a studovat závislost na multiplicitě

Obsah

Popis experimentu

Motivace

Selekce dat

Simulace a efektivita TPC

Geometrie PP srážek

Závěr

Bylo provedeno

- ▶ účast na runu 7 (spouštění runů, kontrola gas systému, data quality kontrola)
- ▶ analýza PP dat z detektoru STAR: root4star, farmy RCF, PDSF, goliás
- ▶ rozdělení eventů na soft a hard
- ▶ opravy na efektivitu detektoru
- ▶ using StHbtMaker - HBT analysis framework within root4star
- ▶ HBT analýza pro minbias data

Výhled

- ▶ provedení HBT analýzy na soft, hard eventech
- ▶ studium dalších závislostí:
 - ▶ závislost HBT parametrů na multiplicitě
 - ▶ závislost HBT parametrů na sféricitě, aplanaritě
 - ▶ závislost aplanarity a sféricity na detektor efektech
 - ▶ závislost p_T spekter na multiplicitě pro soft,hard eventy
 - ▶ vliv pileupu v eventech s velkou multiplicitou

pileup

- ▶ Beam Beam Counter detektor
 - ▶ minimum bias trigger pro PP
 - ▶ 4.5 m od středu detektoru, $3.4 < |\eta| < 5.0$
 - ▶ coincidence = NSD interakce uvnitř detektoru, $\sigma_{NSD} = 30$ mb při $\sqrt{s} = 200$ GeV
 - ▶ časové rozlišení neumožňuje určit polohu vertexu s přesností větší než 60 cm

- ▶ TPC rate: 25 kHz, NSD cross section: 30 mb
 beam crossing rate: 10 MHz, number of bunches: 120

Lum/ 10^{31} cm $^{-2}$ s $^{-1}$	BBC Coinc. /kHz	pileup prob. in beam cros.	Number of events in TPC	note
0.02	6	0.06%	0.24	průměr - run 2
0.06	18	0.18%	0.72	maximum - run 2
0.13	40	0.4%	1.6	průměr - run 6
1.6	480	4.8%	19.2	?maximum - run 7

pileup

- ▶ Pokud dojde během jednoho beam crossing ke dvěma interakcím, budou v eventu dva primární vertexy. V runu 2 byla tato pravděpodobnost malá.
- ▶ Často jsou během TPC drift time (triggerovaného eventu) v TPC komoře přítomny “tracky” z interakce, která se stala před/po. Z topologie rekonstruovaných tracků nelze pileup jednoznačně poznat a dobře určit primární vertex.
- ▶ Proto se pro hledání vertexu používá CTB (Central Trigger Barrel), který se vyčítá při každém beam crossing.
 $R_{CTB} = 213 \text{ cm}$ a jeho akceptance je $|\eta| < 1.0$
- ▶ CTB má 240 segmentů, ke stanovení primárního vertexu se použijí tracky z TPC, které mají hit v CTB. Ostatní tracky s $DCA < 3 \text{ cm}$ jsou považovány za primární a jsou znovu nafitovány tak, aby procházely primárním vertexem.